

## МЕЖУЗЕЛЬНЫЕ СОСТОЯНИЯ ПРИМЕСЕЙ ПЕРЕХОДНЫХ МЕТАЛЛОВ В КРЕМНИИ

### III. ТЕОРИЯ РАСТВОРИМОСТИ

Фистуль В. И., Шмутуров В. А.

Предложена физико-химическая модель растворения примесей переходных металлов в кремнии в позициях внедрения, в основе которой лежат понятия о потенциалах взаимодействия примесного атома с атомами кристаллической решетки. Учитываются влияние кристаллического поля на электронные конфигурации примесных  $d$ -атомов, локальные искажения кристаллической решетки, поляризация решетки в случае ионизованного состояния примесного атома. Модель позволяет рассчитать энталпию растворения и определить преимущественные зарядовые состояния примесей переходных металлов в междоузлиях решетки кремния.

Важным энергетическим параметром, позволяющим предсказать поведение примесей в полупроводниках, является энталпия растворения. Однако, несмотря на большое количество экспериментальных работ по исследованию растворимости  $d$ -примесей в кремнии, моделей теоретических расчетов энталпии растворения примесей переходных металлов с незавершенной  $d$ -оболочкой не разработано.

В настоящей статье рассматривается теория растворимости  $d$ -примесей в кремнии, позволяющая рассчитать энталпию растворения и определить преимущественные зарядовые состояния примесных атомов в междоузлиях кристаллической решетки.

Как и энергия миграции, рассмотренная в I и II частях настоящей работы, энталпия растворения описывается с помощью потенциалов взаимодействия примесного атома с окружающими атомами кремния. Модель вхождения атома примеси в междоузлие можно представить следующей схемой: 1) испарение примесного атома из собственной решетки; 2) перенос атома примеси к поверхности полупроводникового кристалла; 3) внедрение примесного атома в междоузлие кристаллической решетки полупроводника, где под действием кристаллического поля происходит перестройка электронных оболочек примесного атома.

В данной модели предполагалось, что в паровой фазе атомы переходных металлов находятся в свободном состоянии с электронной конфигурацией  $\text{Me}^0[d's'']$ . Образующийся твердый раствор является бесконечно разбавленным.

В такой схеме над примесным атомом совершается работа по его отрыву из собственного кристалла, переносу к поверхности полупроводника, внедрению в междоузлие и по перестройке электронных оболочек  $d$ -атомов, а именно по переводу внешних  $s$ -электронов на  $d$ -оболочку (см. I часть этой работы).

Энталпия растворения является функцией состояния системы [1], следовательно, она определяется только начальным и конечным состояниями системы. За начальное состояние принято состояние примесного атома, находящегося в паровой фазе, а за конечное — примесный атом в междоузлии решетки. Энергетической характеристикой начального состояния является энергия, необходимая для получения моноатомного пара, т. е. энергия атомизации ( $\Delta H_{\text{at}}$ ). В конечном состоянии (в междоузлии) на атом примеси действуют силы отталкивания за счет перекрывания электронных оболочек атомов кристалла и при-

меси ( $U_{\text{от}}$ ), внутренний кристаллический потенциал ( $U_{\text{вр}}$ ), а для ионизованной примеси необходимо дополнительно учитывать поляризацию решетки ионом примеси ( $U_{\text{п}}$ ). В общий баланс энергий также включается энергия, затрачиваемая на перестройку электронных оболочек ( $\text{Me}[d^{\prime\prime}s''] \rightarrow \text{Me}[d^{n+m}]$ ), т. е. энергия промотирования ( $P$ ).

Таким образом, энталпию растворения ( $\Delta H_s^i$ ) можно представить в виде алгебраической суммы энергетических затрат в начальном и конечном состояниях примесного атома. В случае, когда  $d$ -примесь растворяется в нейтральном состоянии в междоузлиях кремния, энергия поляризации равна нулю, и энталпию растворения можно представить как

$$\Delta H_s^i(\text{Me}^0) = \Delta H_{\text{ат}} + U_{\text{от}} - U_{\text{вр}} + P, \quad (1)$$

а при растворении в ионизованном состоянии — в виде

$$\Delta H_s^i(\text{Me}^+) = \Delta H_{\text{ат}} + U_{\text{от}} - U_{\text{вр}} - U_{\text{п}} + P - I_s, \quad (2)$$

где  $I_s$  — энергетические затраты на ионизацию примесного атома, которые определялись с помощью орбитальных потенциалов ионизации примесного атома [2, 3].

Величины  $U_{\text{от}}$ ,  $U_{\text{вр}}$ ,  $U_{\text{п}}$ , входящие в выражения (1) и (2), подробно описаны в I части данного цикла работ, где приведены и их численные значения, поэтому на сущности и расчетах энергии отталкивания, энергии поляризации и внутреннего кристаллического потенциала мы останавливаться не будем.

Энергия атомизации  $d$ -элементов является табличной величиной [4]. Для удобства расчетов вычисления энталпии растворения проводились с использованием значений энергии атомизации, отнесенной к 298 К.

Энергия промотирования  $P$  оценивалась как разность энергий между усредненными по термам уровнями для конфигураций  $\text{Mc}^0[d^{n+m}]$  и  $\text{Me}^0[d^{\prime\prime}s'']$  для нейтральных примесей,  $\text{Me}^+[d^{n+m-1}]$  и  $\text{Me}^0[d^{\prime\prime}]$  для ионизованных. Значения

Таблица 1  
Энталпии растворения  $d$ -примесей в междоузлиях кремния

Примесь	Состояние				$\Delta H_s^i(\text{эксп.}),$ эВ	Литература		
	нейтральное		ионизованное					
	электронная конфигурация	$\Delta H_s^i(\text{Me}^0),$ эВ/ат	электронная конфигурация	$\Delta H_s^i(\text{Me}^+),$ эВ/ат				
Sc	$3d^3$	6.02	$3d^2$	2.40				
Ti	$3d^4$	8.36	$3d^3$	4.21				
V	$3d^5$	8.03	$3d^4$	4.47				
Cr	$3d^6$	3.12	$3d^5$	1.82	2.00	[8]		
Mn	$3d^7$	1.81	$3d^6$	0.56	2.10	[9]		
Fe	$3d^8$	2.02	$3d^7$	1.59	2.40	[10]		
Co	$3d^9$	1.13	$3d^8$	1.73	1.45	[11]		
Ni	$3d^{10}$	1.52	$3d^9$	3.18	1.40	[12]		
Cu	$3d^{10}4s^1$	1.08	$3d^{10}$	1.13				
Y	$4d^3$	9.68	$4d^2$	3.56				
Zr	$4d^4$	11.59	$4d^3$	6.02				
Nb	$4d^5$	10.69	$4d^4$	6.73				
Mo	$4d^6$	7.67	$4d^5$	5.78				
Tc	$4d^7$	6.43	$4d^6$	4.54				
Ru	$4d^8$	5.33	$4d^7$	5.27	3.35	[13]		
Rh	$4d^9$	4.15	$4d^8$	4.17	1.60	[14]		
Pd	$4d^{10}$	1.16	$4d^9$	2.91	1.52	[15]		
Ag	$4d^{10}5s^1$	0.50	$4d^{10}$	0.93				
La	$5d^3$	9.44	$5d^2$	1.79				
Hf	$5d^4$	18.62	$5d^3$	8.40				
Ta	$5d^5$	18.11	$5d^4$	10.50				
W	$5d^6$	14.93	$5d^5$	9.91				
Re	$5d^7$	12.87	$5d^6$	9.38				
Os	$5d^8$	—	$5d^7$	8.90				
Ir	$5d^9$	7.97	$5d^8$	7.60				
Pt	$5d^{10}$	3.83	$5d^9$	6.12				
Al	$5d^{10}6s^1$	1.32	$5d^{10}$	3.50				

энергий центров тяжести термов для различных состояний атомов и ионов переходных металлов взяты из работ [5, 6].

В случае примесей с завершенной  $d$ -оболочкой (меди, серебра, золота) перестройки электронных оболочек не происходит, следовательно, энергия промотирования равна нулю.

Предложенная модель растворения  $d$ -примесей в кремнии позволяет предсказать преимущественное зарядовое состояние примесного атома в междоузлиях кристаллической решетки, а именно преимущественным является состояние с наименьшей величиной энталпии растворения.

Расчеты величин  $\Delta H_i^{\circ}$  ( $\text{Me}^0$ ) и  $\Delta H_i^{\circ}$  ( $\text{Me}^+$ ) проводились для случая растворения  $d$ -примесей в тетраэдрических междоузлиях, поскольку из экспериментов известно, что межузельные атомы и ионы переходных металлов занимают главным образом  $T$ -междоузлия [7].

Результаты вычислений энталпии растворения представлены в табл. 1. В табл. 2 на основе анализа рассчитанных величин энталпий растворения пока-

Таблица 2

Наиболее вероятные состояния примесных  $d$ -атомов в междоузлиях кремния

Примесь	Электронная конфигурация									
	$d^2$	$d^3$	$d^4$	$d^5$	$d^6$	$d^7$	$d^8$	$d^9$	$d^{10}$	$d^{10} s^1$
$\text{Sc}[3d^14s^2]$	$\text{Sc}^+$									
$\text{Ti}[3d^24s^2]$		$\text{Ti}^+$								
$\text{V}[3d^34s^2]$			$\text{V}^+$							
$\text{Cr}[3d^44s^1]$				$\text{Cr}^+$						
$\text{Mn}[3d^54s^2]$					$\text{Mn}^+$					
$\text{Fe}[3d^64s^2]$						$\text{Fe}^+$				
$\text{Co}[3d^74s^2]$							$\text{Fe}^0$			
$\text{Ni}[3d^84s^2]$									$\text{Co}^0$	
$\text{Cu}[3d^{10}4s^1]$										$\text{Ni}^0$
									$\text{Cu}^+$	$\text{Cu}^0$
$\text{Y}[4d^15s^2]$	$\text{Y}^+$									
$\text{Zr}[4d^25s^2]$		$\text{Zr}^+$								
$\text{Nb}[4d^45s^1]$			$\text{Nb}^+$							
$\text{Mo}[4d^55s^1]$				$\text{Mo}^+$						
$\text{Tc}[4d^55s^2]$					$\text{Tc}^+$					
$\text{Ru}[4d^25s^1]$						$\text{Ru}^+$				
$\text{Rh}[4d^85s^1]$							$\text{Ru}^0$			
$\text{Pd}[4d^{10}5s^0]$							$\text{Rh}^+$			
$\text{Ag}[4d^{10}5s^1]$								$\text{Rh}^0$		
									$\text{Pd}^0$	$\text{Ag}^0$
$\text{La}[5d^16s^2]$	$\text{La}^+$									
$\text{Hf}[5d^26s^2]$		$\text{Hf}^+$								
$\text{Ta}[5d^36s^2]$			$\text{Ta}^+$							
$\text{W}[5d^46s^2]$				$\text{W}^+$						
$\text{Re}[5d^56s^2]$					$\text{Re}^+$					
$\text{Os}[5d^66s^2]$						$\text{Os}^+$				
$\text{Ir}[5d^76s^2]$							$\text{Ir}^+$			
$\text{Pt}[5d^86s^1]$								$\text{Ir}^0$		
$\text{Au}[5d^{10}6s^1]$									$\text{Pt}^0$	$\text{Au}^0$

Примечание. Чертка снизу — состояния, подтверждаемые экспериментально.

заны преимущественные зарядовые состояния  $d$ -примесей и их соответствующие электронные конфигурации. Из табл. 1, 2 видно, что для  $d$ -примесей с конфигурациями  $d^2$ — $d^6$  энталпия растворения в ионизованном состоянии в междоузлиях намного меньше, чем в нейтральном. Поэтому примеси будут находиться в решетке кремния в основном в виде положительно заряженных ионов  $\text{Me}^+$ .

Ввиду того что величины энталпии растворения примесей железа, рутения, родия, иридия и меди в нейтральном и ионизированном состояниях в междоузлиях

кремния близки, эти примеси должны находиться как в нейтральном, так и в ионизованном состояниях. Это вытекает из следующего. Предположив, что температурная зависимость концентраций примесных атомов описывается хорошо известным выражением

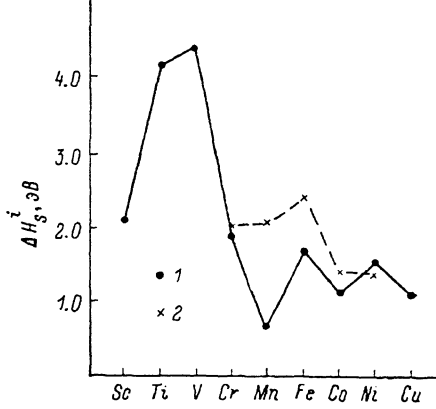
$$N_{\text{Me}} = N_0 \exp(-\Delta H_s/kT), \quad (3)$$

где  $N_0$  — предэкспоненциальный множитель, зависящий от энтропии растворения, а следовательно, и от частот колебаний атомов в рассматриваемом кластере, которые для одной и той же примеси в различных зарядовых состояниях в  $T$ -междоузлиях не сильно отличаются друг от друга, получим, что отношение концентраций ионизированных примесных атомов к нейтральным в междоузлиях для примесей железа, рутения, родия, иридия и меди будет соответственно 30, 15, 1, 17, 0.8.

Чрезвычайно важным в дальнейшем развитии теории растворимости является переход от энергетических характеристик к концентрационным зависимостям. Для решения этой задачи необходимо разработать модели, позволяющие надежно определять энтропийный вклад в величину растворимости.

Зависимость энталпии растворения  $3d$ -примесей от порядкового номера  $d$ -элемента.

1 — теория (теоретические значения выбраны для наиболее вероятных зарядовых состояний), 2 — эксперимент.



Результаты, представленные в табл. 2, достаточно хорошо согласуются с экспериментальными данными по зарядовым состояниям и электронным конфигурациям  $d$ -примесей в решетке кремния. Систематизация большого количества работ по этому вопросу приведена в [7]. Поскольку  $4d$ - и  $5d$ -примеси исследованы недостаточно, теоретические результаты, сведенные в табл. 1, 2, могут рассматриваться как прогноз.

Так как предложенная методика расчета энталпии растворения носит, скорее, качественный характер, хорошего согласия теории и эксперимента ожидать не приходится. На рисунке приведена зависимость изменения энталпии растворения от порядкового номера  $3d$ -элемента. Видно, что ход экспериментальной и теоретической кривых одинаков, что свидетельствует о корректности разработанной модели.

Таким образом, согласие теории с экспериментом подтверждает возможность прогнозирования зарядовых состояний и электронных конфигураций  $d$ -примесей в кремнии путем сравнения результатов расчета энергетических характеристик растворимости этих примесей в различных кристаллографических положениях и зарядовых состояниях в решетке полупроводника.

#### Л и т е р а т у р а

- [1] Введение в физическую химию и кристаллохимию полупроводников. М., 1982. 582 с.
- [2] Ройцин А. Б., Фирштейн Л. А. // Теор. и эксп. химия. 1966. Т. 2. В. 6. С. 747—756.
- [3] Чаркин О. П., Дяткина М. Е. // Строение молекул и квантовая химия. Киев, 1970. С. 163—175.
- [4] Свойства элементов. Т. 2 // Под ред. Г. В. Самсонова. М., 1976. 600 с.
- [5] Чаркин О. П. // Вестн. ЛГУ. Сер. физ.-хим. 1969. № 22. С. 92—102.
- [6] Чаркин О. П., Дяткина М. Е. // Изв. АН СССР. Химия. 1969. № 12. С. 2661—2671.
- [7] Омельяновский Э. М., Фистуль В. И. Примеси переходных металлов в полупроводниках. М., 1983. 192 с.
- [8] Weber E. R. // Appl. Phys. 1983. V. 30. N 1. P. 1—22.
- [9] Бахадырханов М. К., Болтакс Б. И., Куликов Г. С. // ФТТ. 1972. Т. 14. В. 6. С. 1671—1675.

- [10] Lee Y. H., Kleinhenz R. L., Corbett S. W. // Appl. Phys. Lett. 1977. V. 31. N 3. P. 142—144.
- [11] Бахадырханов М. К., Болтакс Б. И., Куликов Г. С. // ФТТ. 1970. Т. 12. В. 1. С. 181—189.
- [12] Yoshida M., Saito K. // Japan. J. Appl. Phys. 1967. V. 6. N 5. P. 573—581.
- [13] Юнусов М. С., Турсунов Н. А. // ФТП. 1974. Т. 8. В. 6. С. 1145—1150.
- [14] Азимов С. А., Юнусов М. С., Каримов Ф. К. и др. // Легированные полупроводники. М., 1975. С. 21—23.
- [15] Азимов С. А., Юнусов М. С., Турсунов Н. А. и др. // ФТП. 1972. Т. 6. В. 8. С. 1438—1441.

Московский институт  
тонкой химической технологии  
им. М. В. Ломоносова

Получена 24.10.1988  
Принята к печати 20.12.1988

---